



# 葛根素上调 miR-155-3p 降低内脏脂肪素诱导 人脐静脉内皮细胞损伤

周凤华<sup>1</sup>, 黄志勇<sup>2</sup>, 张蕾<sup>1</sup>, 孙学刚<sup>1</sup>, 贾钰华<sup>1</sup>

(1. 南方医科大学中医药学院, 广州 510515;

2. 南方医科大学第三附属医院耳鼻咽喉科, 广州 510630)

**【摘要】** 目的 研究葛根素对内脏脂肪素(visfatin)诱导人脐静脉内皮细胞(HUVEC)炎症因子及 miR-155-3p 表达的影响。方法 采用 visfatin 干预 HUVEC 建立细胞损伤模型, 不同浓度(0.5, 1.0, 2.0 g/L)葛根素分别干预细胞 24 h, 采用 MTT 法检测细胞增殖情况, 流式细胞术检测细胞凋亡情况, ELISA 法检测细胞内 CRP 和 NF- $\kappa$ B 的水平, RT-PCR 法检测细胞内 miR-155-3p 水平, western blotting 测髓样分化因子(myeloid differentiation factor 88, MyD88)蛋白水平。结果 Visfatin 能显著抑制 HUVEC 增殖, 并且诱导其凋亡, 与对照组相比差异有显著性( $P < 0.01$ ), 葛根素中、高浓度组可明显抑制 visfatin 对 HUVEC 细胞损伤作用; 此外, 葛根素中、高浓度组能显著降低细胞上清 CRP 和 NF- $\kappa$ B 水平, 增加细胞内 miR-155-3p 基因表达, 与模型组相比差异有显著性( $P < 0.01$ )。增加 miR-155-3p 水平可显著降低下游 MyD88 蛋白表达, 抑制 HUVEC 分泌 CRP 与 NF- $\kappa$ B, 与模型组相比差异有显著性( $P < 0.05$ )。结论 葛根素能显著减轻 visfatin 诱导 HUVEC 炎症损伤效应, 其机制可能与葛根素上调 miR-155-3p 水平抑制靶基因 MyD88 蛋白表达, 从而降低细胞内 CRP 与 NF- $\kappa$ B 水平有关。

**【关键词】** 人脐静脉内皮细胞; 内脏脂肪素; 葛根素; miR-155-3p

**【中图分类号】** Q95-33 **【文献标识码】** A **【文章编号】** 1005-4847(2016)05-0465-05

Doi:10.3969/j.issn.1005-4847.2016.05.005

## Puerarin alleviates HUVEC injury induced by visfatin through up-regulating miR-155-3p

ZHOU Feng-hua<sup>1</sup>, HUANG Zhi-yong<sup>2</sup>, ZHANG Lei<sup>1</sup>, SUN Xue-gang<sup>1</sup>, JIA Yu-hua<sup>1</sup>

(1. School of Traditional Chinese Medicine, Southern Medical University, Guangzhou 510515, China;

2. ENT Department, the Third Affiliated Hospital of Southern Medical University, Guangzhou 510630)

**【Abstract】** **Object** To study the effect of puerarin on the expression of inflammatory factors and miR-155-3p in human umbilical vein endothelial cells (HUVEC) induced by visfatin. **Methods** The HUVEC cell injury model was established with visfatin. Cell proliferation was measured by MTT assay. Cell apoptosis was detected by flow cytometry. The level of CRP and NF- $\kappa$ B was detected by ELISA, and the expression of miR-155-3p was detected by RT-PCR. The expression of myeloid differentiation factor 88 (MyD88) was identified by western blotting. **Results** Visfatin induced cell proliferation and inhibited apoptosis in HUVEC, meanwhile the expressions of both CRP and NF- $\kappa$ B were significantly increased, compared with that of the control group ( $P < 0.01$ ). Puerarin at moderate and high concentrations obviously reduced the HUVEC injury induced by visfatin, mainly through down-regulating the expression of CRP and NF- $\kappa$ B, as well as up-regulating the level of miR-155-3p in the HUVEC. MiR-155-3p mimic markedly decreased the level of MyD88, CRP and NF- $\kappa$ B in the HUVEC induced by visfatin ( $P < 0.05$ ). **Conclusions** Puerarin obviously alleviates HUVEC injury induced

**【基金项目】** 国家自然科学基金(No. 81373574, 81403339); 广东省自然科学基金博士启动项目(No. 2014A030310150); 广东省中医药管理局科研项目(No. 20141186); 广东省教育部产学研结合项目(2012B091100157); 南方医科大学科研启动计划(No. PY2013N014)。

**【通讯作者】** 周凤华(1986-), 女, 讲师, 博士学位, 研究方向为缺血性心血管疾病的中医药防治。E-mail: wendyzhou515@126.com

by visfatin, probably related to down-regulating the level of MyD88, CRP, NF- $\kappa$ B, and up-regulating the expression of miR-155-3p in HUVEC.

**【Key words】** Human umbilical vein endothelial cells, UVEC; Visfatin; Puerarin; miR-155-3p  
Corresponding author: ZHOU Feng-hua. E-mail: wendyzhou515@126.com

动脉粥样硬化(atherosclerosis, AS)是众多心脑血管疾病的共同病理基础,已成为严重危害人类健康的头号杀手<sup>[1]</sup>,AS的发病机制一直是心血管疾病研究的热点。内皮是所有心血管危险因素的共同靶点,血管内皮功能损伤是AS发生的始动环节,在可见的AS斑块出现前很长时间即已存在<sup>[2]</sup>。研究表明,炎症、氧化应激、血流剪切力的变化等均可直接损伤内皮细胞,导致其通透性增高,血小板和单核细胞等黏附增加,从而诱导AS的发生<sup>[3,4]</sup>。因此,维持血管内皮功能的正常是AS防治的根本。

我们前期研究发现,内脏脂肪素(visfatin)在ApoE<sup>-/-</sup>小鼠血清及斑块中表达显著增高<sup>[5]</sup>,可诱导人脐静脉内皮细胞(HUVEC)损伤,可能与上调IL-6、TNF- $\alpha$ 水平,激活丝裂原活化蛋白激酶(mitogen-activated protein kinase, MAPK)信号通路有关<sup>[6,7]</sup>,提示visfatin在AS的起始环节即发挥作用。研究表明,miR-155可直接靶向一氧化氮合酶,从而在血管内皮细胞中发挥重要作用<sup>[8]</sup>,但visfatin是否能通过调控miR-155水平影响内皮细胞功能尚未见报道。本研究在前期工作基础上主要探讨葛根素对visfatin诱导HUVEC细胞的干预作用机制,以期进一步揭示visfatin诱导内皮损伤的分子机制及中药的防治功效。

## 1 材料与方法

### 1.1 材料

#### 1.1.1 细胞及药物

第二代HUVEC细胞(批号ZQ00446,上海中乔新舟科技公司);葛根素(批号110752-201313,广州市药检所)母液浓度为0.5 g/mL先用适量二甲亚砜(DMSO)溶解后,再用PBS稀释。重组人visfatin(批号YJ130-09,美国Peprotech公司)用PBS溶解稀释成100 mg/L的母液,-20℃保存。

#### 1.1.2 仪器

TS100-F型Eclipse Ti荧光倒置显微镜(日本Nikon公司),ECHO-PLUS型全自动生化仪(意大利爱康公司),MK3型酶标定量测定仪、反转录仪及荧光定量PCR系统(德国Thermo公司),流式细胞仪(美国Beckman Coulter公司),Image Station 2000MM多

功能成像系统(美国Kodak公司)。

#### 1.1.3 试剂

DMEM/F12培养基、胎牛血清(批号03/14、F7676,美国Gibco公司),MTT干粉(批号200-664-3,美国Sigma公司),AnnexinV-FITC细胞凋亡检测试剂盒(批号40302ES20,南京凯基生物公司),miR-155-3p mimic(批号miR10004658-1-2,广州锐博生物公司),CRP与NF- $\kappa$ B ELISA试剂盒(批号ab99995, ab176647,美国Abcam公司),RNAiso Plus、Prime Script<sup>TM</sup> RT Reagent Kit、SYBR Premix Ex Taq<sup>TM</sup>(批号9109、RR037A、RR420A,日本Takara公司),兔抗髓样分化因子、兔抗GAPDH(批号3699、5174S,美国CST公司)。

### 1.2 方法

#### 1.2.1 细胞分组

对数生长期细胞分别以0, 25, 50, 100, 200  $\mu$ g/L visfatin干预24 h,再取100  $\mu$ g/L visfatin分别干预0, 3, 6, 12, 24 h,检测细胞增殖及凋亡情况;药物干预分组:对照组,模型组(visfatin 100  $\mu$ g/L干预24 h),葛根素低、中、高浓度组,葛根素干预浓度依次为:0.5, 1.0, 2.0 g/L,共同孵育24 h。

#### 1.2.2 MTT测细胞增殖

HUVEC以 $5 \times 10^4$ /孔密度接种于96孔板,处理后加入MTT溶液(浓度为5g/L)20  $\mu$ L/孔,于37℃孵育4 h。吸去孔里的培养基,加入DMSO溶液150  $\mu$ L/孔,震荡10 min充分溶解结晶,酶标仪测A值(波长490 nm)。

#### 1.2.3 流式细胞术测细胞凋亡

细胞干预后离心收集,用PBS洗3次,每次5 min,加入100  $\mu$ L 1 $\times$  binding buffer重悬细胞,再加入5  $\mu$ L annexin V-FITC和5  $\mu$ L PI染色液,轻轻混匀,室温避光反应10 min。然后加入400  $\mu$ L 1 $\times$  binding buffer,混匀,样品立即上流式细胞仪检测(激发波长488 nm,发射波长530 nm),计算细胞凋亡指数。

#### 1.2.4 ELISA测CRP与NF- $\kappa$ B水平

将细胞制成悬液按照 $1 \times 10^5$ /孔的浓度接种于96孔培养板,分为空白对照组,模型组,葛根素低、中、高浓度组,每组设5个复孔,各组分别培养24 h

后,留取细胞上清液,离心 10 min 后,依次加入稀释好的标准品与待测样品各 50 μL 于反应孔,立即加入 50 μL 生物素标记抗体。轻轻混匀,37℃ 孵育 1 h。甩去板内液体,洗涤 3 次,每孔再加入 80 μL 亲和链酶素-HRP,混匀,并于 37℃ 孵育 0.5 h,再洗涤 3 次。每孔加入底物 A、B 各 50 μL,轻轻混匀,37℃ 避光孵育 10 min。迅速加入 50 μL 终止液,立即在 450 nm 波长处测定各孔的 A 值并计算 CRP 与 NF-κB 的浓度。

### 1.2.5 RT-PCR 测 miR-155-3p 水平

提取细胞总 RNA,琼脂糖凝胶电泳检测总 RNA 质量及纯度,紫外分光法测定吸光度(A)260/280。cDNA 合成:总反应体系 20 μL 组成为 14 μL 模板 RNA,2 μL enzyme mix,5 × RT 缓冲液 4 μL,42℃ 反应 60 min,95℃ 反应 5 min,将合成好的 cDNA 保存于 -20℃ 备用。定量 PCR:总反应体系 20 μL 由 2 × PCR 反应混合物 10 μL、cDNA 1 μL、miR-155-3p 引物 0.5 μL、20 × SYBR 1 μL 与 H<sub>2</sub>O 7.5 μL 组成。95℃ 反应 10 min,再转向(95℃ 10 s、60℃ 1 min)共 40 个循环。miR-155-3p 与内参 U6 的相对表达量用 2<sup>-ΔΔCT</sup> 表示,实验重复 3 次。

### 1.2.6 Western blotting 测 MyD88 蛋白

细胞分组处理后提取总蛋白,BCA 法进行蛋白定量,然后进行 SDS-PAGE 电泳,蛋白上样量为每孔 35 μg,积层胶和分离胶浓度分别为 5% 和 12%,电泳全程 1.5 h,再进行半干转膜 70 min,5% 脱脂牛奶室温封闭 1 h,一抗 4℃ 孵育过夜(1:2000),二抗 37℃ 孵育 2 h(1:5000),ECL 法显色成像,Image Tool 3.0 分析图像光密度值(IA),GAPDH 为内参照。

### 1.2.7 统计分析

采用 SPSS 20.0 统计软件进行数据分析,计量资料数据用  $\bar{x} \pm s$  表示。若符合正态分布采用 one-way ANOVA 分析;若不符合正态分布则采用秩和检验。 $P < 0.05$  为有统计学差异。

## 2 结果

### 2.1 Visfatin 致 HUVEC 损伤

25、50 μg/L visfatin 对 HUVEC 增殖未见明显抑制作用,而 100、200 μg/L 能显著抑制 HUVEC 增殖( $P < 0.01$ ,见表 1);100 μg/L visfatin 干预细胞 3、6 h 对增殖无明显影响,干预 12、24 h 可见增殖抑制明显,尤其是 24 h 作用最显著( $P < 0.01$ ,见表 2)。100 μg/L visfatin 干预 24 h 时,细胞凋亡最显著( $P < 0.01$ )。

表 1 不同浓度 visfatin 对 HUVEC 增殖及凋亡的影响( $\bar{x} \pm s, n = 6$ )

Tab. 1 Effect of visfatin at different concentrations on HUVEC proliferation and apoptosis

组别 Groups	浓度 Concentration (μg/L)	吸光度 Proliferation/A	凋亡指数 Apoptosis index (AI)
对照组 Control	—	0.92 ± 0.28	4.37 ± 1.25
Visfatin	25	0.82 ± 0.31	6.44 ± 2.63
	50	0.69 ± 0.33 *	8.38 ± 1.92 *
	100	0.51 ± 0.36 **	13.86 ± 3.17 **
	200	0.42 ± 0.27 **	16.55 ± 3.44 **

注:与对照组相比,\* $P < 0.05$ ,\*\* $P < 0.01$ (表 2 同)。

Note. Compared with the control group, \* $P < 0.05$ , \*\* $P < 0.01$ . (Tab. 2 is the same).

表 2 Visfatin 干预不同时间对 HUVEC 增殖及凋亡的影响( $\bar{x} \pm s, n = 6$ )

Tab. 2 Effect of visfatin at different incubation times on the HUVEC proliferation and apoptosis

组别 Groups	时间 Time/h	吸光度 Proliferation/A	凋亡指数 Apoptosis index (AI)
对照组 Control	—	1.03 ± 0.39	4.15 ± 1.53
Visfatin	3	0.89 ± 0.26	5.36 ± 1.98
	6	0.77 ± 0.33	7.21 ± 1.28
	12	0.58 ± 0.31 **	10.44 ± 2.37 **
	24	0.52 ± 0.24 **	13.92 ± 3.82 **

### 2.2 葛根素对 HUVEC 内 CRP、NF-κB 及 miR-155-3p 水平的影响

与模型组相比,葛根素中、高浓度组细胞增殖抑制明显减轻( $P < 0.01$ ),凋亡指数明显降低( $P < 0.01$ ,见表 3)。模型组细胞上清中 CRP 与 NF-κB 明显升高,而葛根素中、高浓度均能显著降低 CRP 与 NF-κB 水平( $P < 0.01$ )。模型组 miR-155-3p 水平较对照组明显降低,葛根素中浓度干预后 miR-155-3p 升高,差异有显著性( $P < 0.05$ ),高浓度组差异有显著性( $P < 0.01$ )。与模型组相比,葛根素低浓度组 HUVEC 增殖与凋亡,以及 CRP、NF-κB、miR-155-3p 水平,差异无显著性( $P > 0.05$ )。

### 2.3 激活 miR-155-3p 对 HUVEC 的影响

与模型组相比,葛根素组与 miR-155 mimic 组细胞增殖抑制显著减轻( $P < 0.01$ ),凋亡指数降低( $P < 0.01$ ),组间未见差异( $P > 0.05$ ,见表 4)。与空白组相比,模型组 CRP、NF-κB 与 MyD88 蛋白水平均显著增加,差异均有显著性( $P < 0.01$ )。miR-155-3p mimic 可显著降低细胞内 CRP、NF-κB 与 MyD88 蛋白表达,与模型组相比差异有显著性( $P < 0.05$ ,图 1)。

表 3 葛根素对 HUVEC 细胞增殖、凋亡及 CRP、NF- $\kappa$ B、miR-155 水平的影响( $\bar{x} \pm s, n = 6$ )Tab. 3 Effect of puerarin at different concentrations on HUVEC proliferation and apoptosis, CRP, NF- $\kappa$ B and miR-155 level

组别 Groups	吸光度 Proliferation /A	凋亡指数 Apoptosis index (AI)	C 反应蛋白 CRP (ng/L)	核因子- $\kappa$ B NF- $\kappa$ B (ng/L)	miR-155
对照组 Control	0.98 $\pm$ 0.23	5.28 $\pm$ 2.15	65.47 $\pm$ 15.62	82.38 $\pm$ 9.53	3.74 $\pm$ 0.68
模型组 Model	0.50 $\pm$ 0.36	15.06 $\pm$ 3.06	235.83 $\pm$ 29.33	332.61 $\pm$ 21.28	0.95 $\pm$ 0.38
Puerarin 低 low	0.69 $\pm$ 0.33	13.28 $\pm$ 2.90	147.92 $\pm$ 34.17	240.92 $\pm$ 14.36	1.62 $\pm$ 0.47 *
Puerarin 中 middle	0.82 $\pm$ 0.19 **	8.31 $\pm$ 3.29 **	105.47 $\pm$ 22.52 **	163.02 $\pm$ 15.64 **	2.81 $\pm$ 0.54 **
Puerarin 高 high	0.89 $\pm$ 0.22 **	7.66 $\pm$ 2.14 **	86.32 $\pm$ 19.24 **	145.42 $\pm$ 19.02 **	3.29 $\pm$ 0.77 **

注:与模型组相比, \*  $P < 0.05$ , \*\*  $P < 0.01$ 。Note. Compared with the model group, \*  $P < 0.05$ , \*\*  $P < 0.01$ .表 4 激活 miR-155 对 HUVEC 的影响( $\bar{x} \pm s, n = 6$ )

Tab. 4 Effect of miR-155 activation on the HUVEC activities

组别 Groups	吸光度 Proliferation /A	凋亡指数 Apoptosis index (AI)	C 反应蛋白 CRP (ng/L)	核因子- $\kappa$ B NF- $\kappa$ B (ng/L)	miR-155
对照组 Control	0.95 $\pm$ 0.27 **	5.87 $\pm$ 1.26 **	73.22 $\pm$ 11.54 **	67.51 $\pm$ 12.85	4.25 $\pm$ 0.71
模型组 Model	0.43 $\pm$ 0.21	17.62 $\pm$ 4.39	259.76 $\pm$ 24.82	317.54 $\pm$ 15.01	1.33 $\pm$ 0.54
葛根素组 Puerarin <sup>a</sup>	0.83 $\pm$ 0.33 **	9.08 $\pm$ 3.17 **	98.45 $\pm$ 20.74 **	152.39 $\pm$ 19.44 **	3.41 $\pm$ 0.92 **
miR-155 <sup>b</sup>	0.77 $\pm$ 0.31 **	11.64 $\pm$ 2.07 **	132.56 $\pm$ 22.52 **	193.28 $\pm$ 13.65 *	8.19 $\pm$ 1.48 **

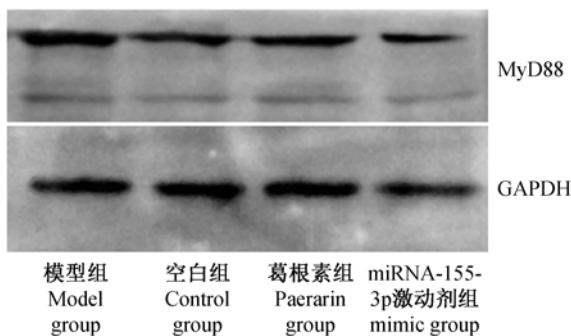
注:<sup>a</sup>葛根素浓度为 1.0 g/L, <sup>b</sup>miRNA-155-3p mimic 浓度为 50 nmol/L,均干预 24 h,与模型组相比, \*  $P < 0.05$ , \*\*  $P < 0.01$ 。Note. Puerarin<sup>a</sup>: 1.0 g/L for 24 h, miR-155<sup>b</sup> (miRNA-155-3p mimic): 50 nM for 24 h. Compared with the model group, \*  $P < 0.05$ , \*\*  $P < 0.01$ .

图 1 各组 MyD88 蛋白水平

Fig. 1 MyD88 protein levels in different groups

### 3 讨论

内皮细胞是血管内膜屏障,易受到各种心血管危险因素的刺激而发生功能和结构异常,其功能障碍是 AS 发生发展的起始环节。一旦内皮细胞功能失衡,大量的脂质和单核细胞就会侵入到内皮,导致炎症和脂纹的形成<sup>[9,10]</sup>。因此,维持血管内皮细胞功能平衡是 AS 一级预防工作的重要举措。

Visfatin 主要由内脏的白色脂肪组织分泌,冠心病患者血清中 visfatin 水平显著升高,且伴有 CRP 及肿瘤坏死因子- $\alpha$  (tumor necrosis factor- $\alpha$ , TNF- $\alpha$ ) 的升高<sup>[11]</sup>。前期发现,visfatin 在 ApoE<sup>-/-</sup> 小鼠血清及斑块中的表达均明显升高,升高的 visfatin 可诱导巨

噬细胞表面清道夫受体活化,加速对胆固醇及氧化低密度脂蛋白的吞噬,导致泡沫细胞形成<sup>[5]</sup>。此外,visfatin 可明显诱导 HUVEC 细胞增殖抑制,上调细胞上清中 TNF- $\alpha$  及白介素-6 (IL-6) 水平,诱导细胞炎症损伤,其机制与 visfatin 激活 MAPK 家族中的 ERK1/2、JNK 与 p38 等信号蛋白有关<sup>[6,7]</sup>。本实验中我们也发现,visfatin 与 HUVEC 共培养后,细胞增殖抑制,凋亡增加,上清中 CRP 与 NF- $\kappa$ B 水平明显升高,进一步证实了 visfatin 具有显著诱导炎症的作用。

CRP 是炎症的敏感性指标之一,CRP 的升高与 AS 的发生发展及预后有密切联系。研究发现,CRP 可直接导致 HUVEC 细胞炎症<sup>[12]</sup>。CRP 可介导巨噬细胞摄取 LDL,促进泡沫细胞形成。此外,CRP 能促进局部免疫调节障碍,诱导斑块进展及破裂<sup>[13]</sup>。本实验发现,visfatin 能显著上调 HUVEC 上清中 CRP 水平,促进细胞炎症损伤,葛根素中、高浓度可明显抑制其分泌,拮抗 visfatin 的增殖抑制与诱导凋亡作用。

众所周知,NF- $\kappa$ B 参与炎症、免疫、氧化应激反应的全过程,是重要的核转录因子。NF- $\kappa$ B 可被众多危险因素活化,一旦 NF- $\kappa$ B 被激活可调控血管细胞黏附分子、细胞间黏附分子、E 选择素等生成增多;同时,NF- $\kappa$ B 可抑制细胞凋亡,导致血管平滑肌细胞反应性增生及纤维化,进而促进 AS 斑块形

成<sup>[14]</sup>。MyD88 是 Toll 样受体信号通路中的一个关键接头分子,可与 NF- $\kappa$ B 特异性结合激活下游炎症相关基因表达,从而激发一系列级联式炎症反应,进一步促进 AS 进展,因而 MyD88/NF- $\kappa$ B 也被认为是抗 AS 的重要环节。本实验也发现,给予 HUVEC 外源性 visfatin 刺激后,细胞内 MyD88 蛋白表达显著增加,上清中的 NF- $\kappa$ B 水平升高,提示 visfatin 诱导 HUVEC 损伤可能与激活 MyD88/NF- $\kappa$ B 炎症通路有关,葛根素可显著降低细胞 MyD88 与 NF- $\kappa$ B 水平,可能是其抗炎作用的部分机制。

微小 RNA (microRNA, miRNA) 在调节 AS 病变进程相关的血管壁炎症反应、免疫细胞分化和胆固醇代谢等方面均发挥了重要作用<sup>[15]</sup>。miR-155-3p 是一个典型的多功能 miRNA,已被证实在免疫反应、炎症、肿瘤发生等过程中均发挥了重要作用。miR-155-3p 在巨噬细胞泡沫化过程中表达上调,可下调清道夫受体表达抑制泡沫细胞形成<sup>[16]</sup>。TNF- $\alpha$  可显著上调 HUVEC 内 miR-155-3p 水平,这可能是机体内在有效的负反馈调节机制,通过抑制 MyD88/NF- $\kappa$ B 通路降低内皮炎症,从而减轻 AS 损伤<sup>[17]</sup>。可以确定的是,miR-155-3p 在 AS 中具有明显的阶段特异性作用,早期可靶向调节集落刺激因子-1 受体表达,从而抑制巨噬细胞增殖;进展期可通过下调 Bcl-6 表达抑制 AS 斑块进展<sup>[18]</sup>。本实验中,100  $\mu$ g/L visfatin 干预 HUVEC 24 h 能显著降低细胞内 miR-155-3p 表达,而葛根素可有效逆转这种下调作用。增加细胞 miR-155-3p 水平能显著抑制靶基因 MyD88 蛋白表达,降低 NF- $\kappa$ B 与 CRP 水平,从而减轻 visfatin 对 HUVEC 的损伤作用。葛根素对 HUVEC 的保护作用部分是通过上调 miR-155-3p 水平实现的。

#### 参 考 文 献

- [ 1 ] 中华人民共和国卫生部. 2014 中国卫生统计年鉴 [M], 北京:中国协和医科大学出版社, 2015, 324.
- [ 2 ] Lu J, Xiang G, Liu M, et al. Irisin protects against endothelial injury and ameliorates atherosclerosis in apolipoprotein E-Null diabetic mice [J]. *Atherosclerosis*, 2015, 243(2): 438-448.
- [ 3 ] Shalini V, Pushpan CK, GS, et al. Tricin, flavonoid from Njavara reduces inflammatory responses in hPBMCs by modulating the p38MAPK and PI3K/Akt pathways and prevents inflammation associated endothelial dysfunction in HUVECs [J]. *Immunobiology*, 2015; pii: S0171-2985(15)30067-X.
- [ 4 ] Husain K, Hernandez W, Ansari RA, et al. Inflammation, oxidative stress and renin angiotensin system in atherosclerosis [J]. *World J Biol Chem*, 2015, 6(3): 209-217.
- [ 5 ] Zhou FH, Pan YY, Huang ZY, et al. Visfatin induces cholesterol accumulation in macrophages through up-regulation of scavenger receptor-A and CD36 [J]. *Cell Stress Chaperones*, 2013, 18: 643-652.
- [ 6 ] 崔小冰,周凤华,万强,等. p38 MAPK 通路在内脏脂肪素诱导 HUVEC 细胞分泌 TNF- $\alpha$  的作用及定心方含药血清的影响 [J]. *中国实验方剂学杂志*, 2014, 20(7): 135-139.
- [ 7 ] 万强,周凤华,崔小冰,等. 小檗碱通过 JNK 通路降低内脏脂肪素诱导人脐静脉内皮细胞分泌 IL-6 和 TNF- $\alpha$  的研究 [J]. *中草药*, 2015, 46(7): 216-220.
- [ 8 ] Shi L, Fleming I. One miR level of control; microRNA-155 directly regulates endothelial nitric oxide synthase mRNA and protein levels [J]. *Hypertension*, 2012, 60(6): 1381-1382.
- [ 9 ] Pedrigo RM, Poulsen CB, Mehta VV, et al. Inducing persistent flow disturbances accelerates atherogenesis and promotes thin cap fibroatheroma development in D374Y-PCSK9 hypercholesterolemic minipigs [J]. *Circulation*, 2015; 132(11): 1003-1012.
- [ 10 ] Gu P, Cheng M, Hui X, et al. Elevating circulation chemerin level is associated with endothelial dysfunction and early atherosclerotic changes in essential hypertensive patients [J]. *J Hypertens*, 2015; 33(8): 1624-1632.
- [ 11 ] Dahl TB, Yndestad A, Skjelland M, et al. Increased expression of visfatin in macrophages of human unstable carotid and coronary atherosclerosis: possible role in inflammation and plaque destabilization [J]. *Circulation*, 2007; 115(8): 972-980.
- [ 12 ] Raaz-Schrauder D, Ekici AB, Klinghammer L, et al. The proinflammatory effect of C-reactive protein on human endothelial cells depends on the Fc $\gamma$ RIIa genotype [J]. *Thromb Res*, 2014; 133(3): 426-432.
- [ 13 ] Singh SK, Suresh MV, Prayther DC, et al. C-reactive protein-bound enzymatically modified low-density lipoprotein does not transform macrophages into foam cells [J]. *J Immunol*, 2008; 180(6): 4316-4322.
- [ 14 ] Feaver RE, Gelfand BD, Blackman BR. Human haemodynamic frequency harmonics regulate the inflammatory phenotype of vascular endothelial cells [J]. *Nat Commun*, 2013; 4: 1525.
- [ 15 ] Kumar S, Kim CW, Simmons RD, et al. Role of flow-sensitive microRNAs in endothelial dysfunction and atherosclerosis; mechanosensitive athero-miRs [J]. *Arterioscler Thromb Vasc Biol*, 2014; 34(10): 2206-2216.
- [ 16 ] 尚菲,曾德意,杨慧,等. MicroRNA155 通过下调清道夫受体表达抑制巨噬细胞泡沫化形成 [J]. *中山大学学报(医学科学版)*, 2012, 33(3): 156-162.
- [ 17 ] Wu XY, Fan WD, Fang R, Wu GF. Regulation of microRNA-155 in endothelial inflammation by targeting nuclear factor (NF)- $\kappa$ B P65 [J]. *J Cell Biochem*, 2014; 115(11): 1928-1936.
- [ 18 ] Wei Y, Zhu M, Corbalán-Campos J, et al. Regulation of Csf1r and Bcl6 in macrophages mediates the stage-specific effects of microRNA-155 on atherosclerosis [J]. *Arterioscler Thromb Vasc Biol*, 2015; 35(4): 796-803.

[ 收稿日期 ] 2016-03-14